

Ingeniería Mecánica: Mecánica de los Fluidos

Apellido, Nombre (Legajo):

Fecha:

1. A través de un análisis similar al desarrollado en la página 53 del Cengel Cimbala, determine cuál es la presión dentro de una burbuja "cilíndrica" que tiene la geometría observada en la figura 1 (cilindro con casquetes esféricos en sus extremos). A partir del resultado, responda las siguientes preguntas: ¿Es este estado estable?, es decir, ¿es un caso de estática? ¿Cómo evoluciona el sistema? En caso de que no sea estable, ¿cuál sería la geometría final de la gota? Las variables relevantes del problema serían las siguientes:

$$\rho_1 \quad \rho_2 \quad \sigma \quad L \quad R \quad P_1$$

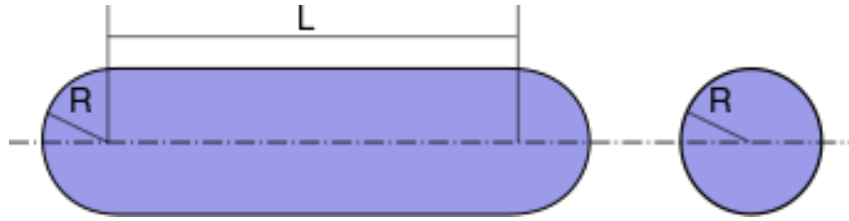


Figure 1: Gota cilíndrica

2. Se utiliza un cojinete hidrodinámico como el de la figura 2 para soportar un eje en rotación a una velocidad angular ω . El aceite empleado tiene una viscosidad que varía linealmente con la temperatura $\mu(T) = \mu_0 + c_\mu(T - T_0)$. El área mojada del eje es un cilindro de radio R y longitud L . Como el cojinete funciona a régimen, puede suponer que la película de aceite tiene un espesor constante e .

Por otra parte, la potencia disipada por efecto viscoso es igual al calor transferido por convección desde el aceite a la caja del cojinete. Dicho calor puede calcularse por la ley de Newton.

$$Q = h_c A(T - T_{caja})$$

Donde h_c es el coeficiente pelicular de convección, que puede extraerse de tablas. Considerando que la temperatura T_{caja} es igual a T_0 , determine la temperatura de trabajo del aceite como función de los parámetros del problema:

$$T = T(\omega, R, L, e, \mu_0, c_\mu, T_0, h_c)$$

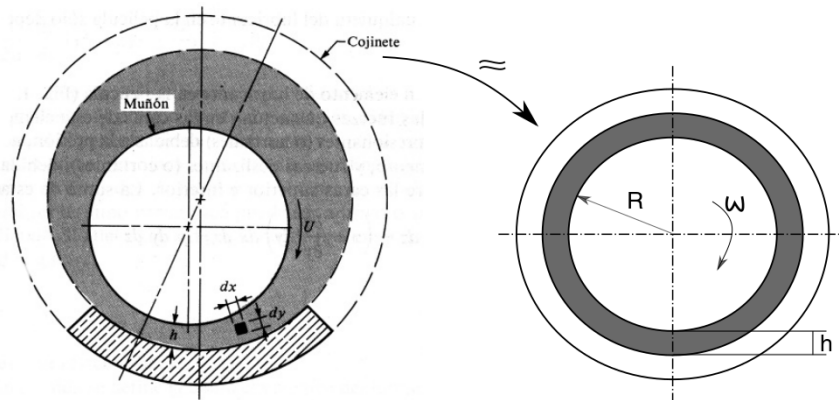


Figure 2: Cojinete hidrodinámico trabajando a régimen (esquema adaptado: Dudley 1962)

3. A qué valor de presión de aire se debe inflar un neumático (fig. 3) de un auto de carrera en boxes teniendo en cuenta que cuando esté en carrera la temperatura del neumático será de T_n y la presión



Figure 3: Neumático

optima deberá ser de P_{opt} ? Considerar la temperatura del neumático frío en boxes de 20°C y el volumen del mismo es de V_n . El aumento de volumen del neumático de frío a caliente es del 20%. Suponga que la presión atmosférica es de 100 KPa.

$$T_n = 60^\circ\text{C} \quad P_{opt} = 40 \text{ psi} \quad V_n = 0.025 \text{ m}^3$$

4. Una caldera de vapor tiene un volumen de agua de V_{cal} a T_1 y presión atmosférica, cuando la misma está apagada. Se enciende el quemador y se calienta hasta que se logra en su interior una presión manométrica de vapor P_2 . A esa presión de saturación, la temperatura de T_2 . Determine qué cantidad de masa de líquido que se evapora para lograr esa presión. Considerar al vapor de agua como un gas ideal.

$$V_{cal} = 50 \text{ m}^3 \quad T_1 = 20^\circ\text{C} \quad P_2 = 10 \text{ bar} \quad T_2 = 180^\circ\text{C}$$

Nota: En una caldera real, no puede medirse sólo la presión de vapor, sino que se mide la suma de presiones parciales, de acuerdo a la ley de Dalton. Corrija el cálculo anterior considerando que un 10% de la masa de gas es aire en vez de agua.

5. Un camión cisterna transporta en Brasil una mezcla de etanol-gasolina con proporciones en volumen 50-50 %. En principio ambas sustancias se encuentran perfectamente mezcladas, pero luego de un tiempo de estar estacionada, la mezcla se separa, como se muestra en la figura 4. El tanque se encuentra totalmente lleno, cerrado y presurizado de forma tal que la presión mínima (punto **b**) es siempre 1 bar.

Escriba las expresiones de la fuerza sobre la tapa trasera del tanque para el caso de fases mezcladas y separadas para el caso estático y para el caso en el que el camión acelera con aceleración a_c . Calcule también el torque producido por la fuerza de hidrostática respecto del punto **a**.

Una vez planteada la solución para un tanque prismático rectangular, modifíquela para aplicarla a una cisterna cilíndrica de sección circular (más realista). ¿Pueden generalizarse estos resultados par cualquier proporción etanol-gasolina?

$$\rho \quad \vec{a}_c \quad \vec{g} \quad L \quad H_0 \quad B = H_0$$

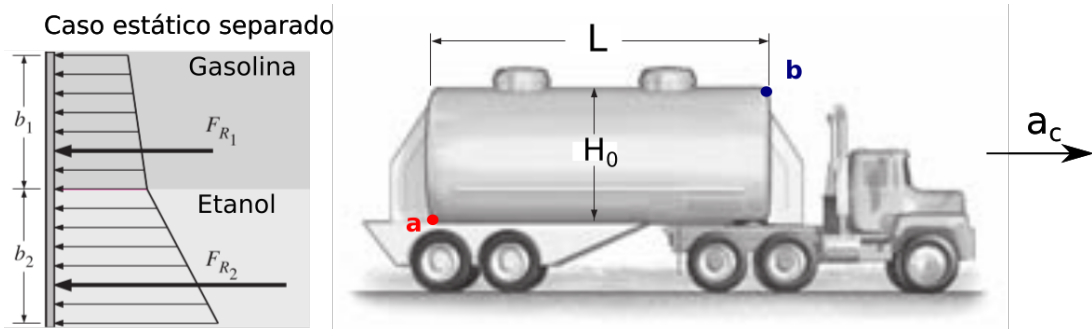


Figure 4: Camión cisterna con detalle de separación de fases (no está a escala)

6. Un tanque sufre, en una de sus paredes verticales planas, una abolladura como se muestra en la figura 5. La misma puede considerarse como un cilindro de sección elipsoidal (semiejes de longitud **A** y **B**) y largo L . Calcule cuál es la fuerza hidrostática resultante sobre la abolladura (en función de sus dimensiones) y qué torque genera respecto a los puntos de concentración de tensiones (**a** y **b**). Exprese el resultado en términos de los parámetros del problema:

$$\rho \quad A \quad B \quad L \quad H_0$$

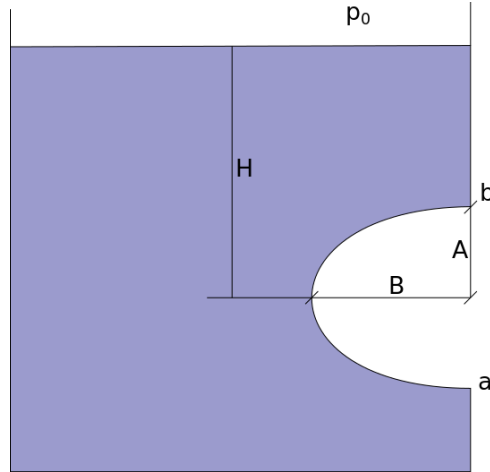


Figure 5: Abolladura elipsoidal en pared plana

7. Dos tubos de altura H , diámetro interno d_i se encuentran conectados a un tanque pequeño. Los tubos y el tanque contienen agua. El sistema se encuentra unido a una plataforma, como se muestra en la figura 6. A qué velocidad angular ω debe girar la plataforma, de manera que la configuración de estado permanente del agua haga que ésta alcance la parte superior del tubo exterior? No tenga en cuenta los efectos de capilaridad. Exprese la solución en términos de las siguientes variables:

$$H \quad d_i \quad D \quad h$$

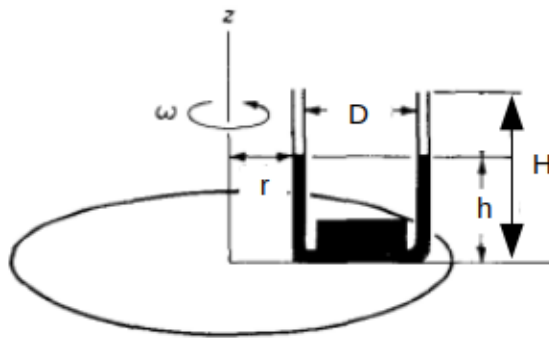


Figure 6: Tubo en U descentrado

8. Un tanque, de radio R y altura H , se encuentra ubicado en posición vertical con su interior repleto de agua. Como se observa en la figura 7 consisten en dos mitades cilíndricas. Ambas mitades son sujetadas por medio de tornillos. Determinar la fuerza que realiza cada tornillo, si la separación entre ellos es L . ¿Qué tornillos son sometidos a la mayor carga? ¿Cómo puede estimar cuál es la diferencia de carga en cada tornillo?. Las variables del problema son:

$$R \quad H \quad \rho \quad L$$

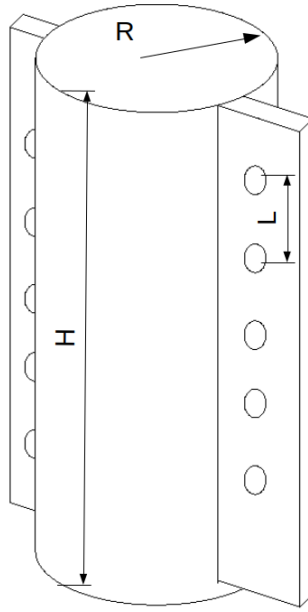


Figure 7: tanque cilindrico vertical

9. Considere un cohete con propulsión a chorro en vuelo con una inclinación θ como se muestra en la figura 8. Utilizando balances integrales de momento lineal, calcule la fuerza resultante sobre el cohete (considerando también la gravedad y el efecto del chorro propulsor). Liste todas las hipótesis utilizadas y exprese la solución en términos generales, es decir, en forma de ecuaciones:

$$F_x = F_x(\theta, \dot{m}, \vec{V}_c, \vec{V}_e, \rho) \quad F_y = F_y(\theta, \dot{m}, \vec{V}_c, \vec{V}_e, \rho, \vec{g})$$

Extienda la formulación anterior para el caso en que haya viento. Integrando la expresión que obtuvo para la fuerza, dé una expresión genérica del alcance del cohete si este parte con una inclinación θ_0 , con una masa de combustible m_0 , suponiendo un flujo másico constante $\dot{m} = m_0/t_{vuelo}$.

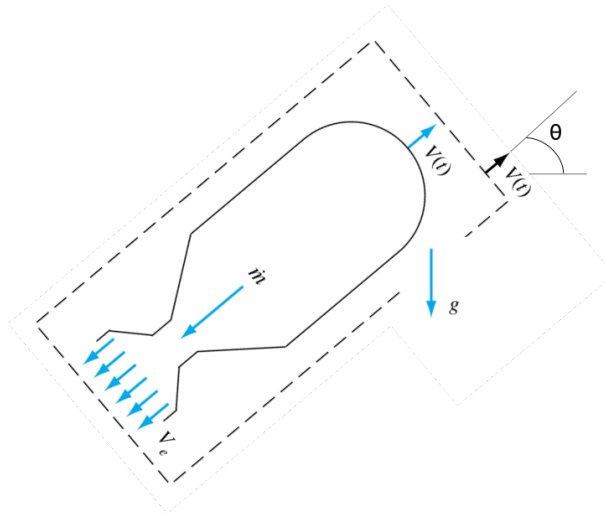


Figure 8: Cohete en vuelo a velocidad $V(t)$ con inclinación θ

10. Determine la carga vertical por unidad de área, ejercida sobre el vehículo, debida al efecto suelo (producida por el flujo de aire alrededor del mismo). Para ello considere el volumen de control graficado en líneas de trazo y punto, y suponga un ancho del vehículo constante. Además suponga

que la presión en la superficie libre superior del vehículo, coincide con la presión a la entrada del volumen de control. Considere los perfiles de velocidades como uniformes.

$$A_{ent} = A_{sal} \quad A_{sup} = c_{sup} A_{ent} \quad A_{inf} = c_{inf} A_{ent}$$

$$c_{sup} = 0,5 \quad c_{inf} = 0,25$$

$$V_{ent} = 80\text{km/h} \quad V_{sup} = 85\text{km/h} \quad P_{ent} = P_{sal} = P_{atm} = 100000\text{Pa}$$

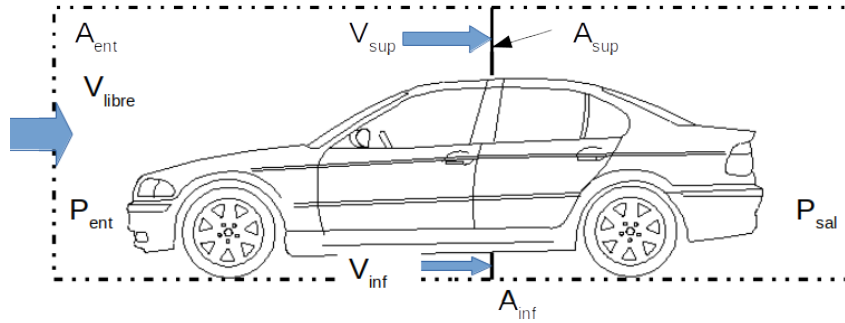


Figure 9: flujo alrededor de vehículo

11. En la figura 10 se observa un aspersor de un solo brazo visto en planta. El mismo rota respecto del punto O a velocidad constante ω . El flujo de agua Q ingresa desde un caño vertical a través de O . El torque resistente que se produce en el cojinete es $-T_O$. ¿Cual es la expresión que define la velocidad de rotación ω ?. En caso de que el aspersor tuviese cuatro brazos separados entre sí a 90° , ¿cual es la expresión de la velocidad?, ¿y si existiesen infinitos brazos aspersores?

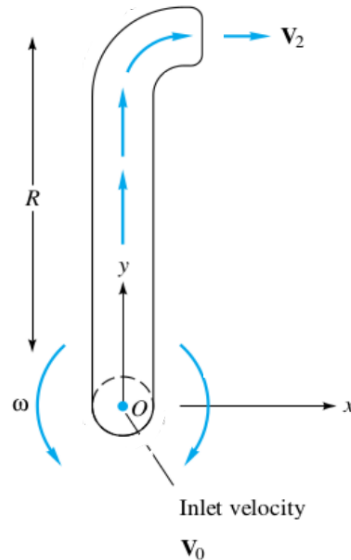


Figure 10: aspersor

12. Considere el generador eólico de la figura 11. Utilizando balances integrales de momento lineal, calcule la velocidad mínima de incidencia del viento para que comience a generar potencia cuando el salto de presión es de Δp . El diámetro del círculo de los alabes es de D_{al} . La eficiencia de la turbo máquina es del n . Suponga la densidad del aire de ρ_a .

$$\Delta p = 0,04 \text{ psi} \quad D_{al} = 27 \text{ ft} \quad n = 30\% \quad \rho_a = 0,076 \text{ lb/ft}^3$$

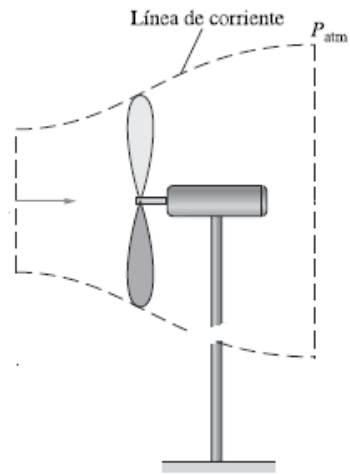


Figure 11: Generador eólico